

СООБЩЕНИЯ
ОБЪЕДИНЕННОГО
ИНСТИТУТА
ЯДЕРНЫХ
ИССЛЕДОВАНИЙ
ДУБНА



СЗУ 2 г 2
Л-745

16 - 7381

В.Л.Ломидзе, Е.П.Шабалин

4335/2-73

ВЛИЯНИЕ МАГНИТНОГО ПОЛЯ
НА ОТРАЖЕНИЕ НЕЙТРОНОВ
ОТ ГЕЛИЕВОЙ СРЕДЫ

1973

ЛАБОРАТОРИЯ НЕЙТРОННОЙ ФИЗИКИ

В.Л.Ломидзе, Е.П.Шабалин

ВЛИЯНИЕ МАГНИТНОГО ПОЛЯ
НА ОТРАЖЕНИЕ НЕЙТРОНОВ
ОТ ГЕЛИЕВОЙ СРЕДЫ

Введение

Спин-орбитальная зависимость в рассеянии нейтронов на ${}^4\text{He}_2$ /1,2/ /и многих других ядрах, преимущественно с нулевым спином/ является причиной поляризации рассеянного пучка и, как следствие этого, - азимутальной асимметрии в последующих рассеяниях. Азимутальная зависимость дифференциального сечения приводит к угловому перераспределению потока нейтронов таким образом, что альbedo поляризующей среды увеличивается /по сравнению со случаем, когда нейтроны не поляризуются/. Поляризационная добавка к альbedo (α) может быть уменьшена или сведена практически к нулю, если в такой среде создать сильное магнитное поле, достаточное для того, чтобы вследствие спиновой прецессии нейтроны "забыли" о своей поляризации и рассеивались как неполяризованные. Этот эффект, как показано в работе /3/, дает принципиальную возможность создания быстродействующей системы магнитного регулирования импульсного реактора, так как поляризационный вклад в реактивность, по оценкам авторов, ожидается в пределах от 0,1 до 1%.

В данной работе проведен более точный расчет эффекта α в альbedo гелиевого отражателя, а также исследована зависимость α от величины и направления магнитного поля, углового и энергетического распределения падающих нейтронов и толщины отражателя.

1. Основные закономерности рассеяния на бесспиновом ядре

Дифференциальное сечение рассеяния частиц со спином $1/2$ на бесспиновом ядре имеет следующий вид [1, 2]:

$$\sigma(\theta, \phi) = |A|^2 + |B|^2 + 2 \operatorname{Re} A^* B (\vec{P} \cdot \vec{n}). \quad /1/$$

Здесь \vec{P} - вектор поляризации падающего пучка, $\vec{n} = \frac{\vec{k} \times \vec{k}'}{|\vec{k} \times \vec{k}'|}$ - вектор нормали к плоскости рассеяния, \vec{k} и \vec{k}' - волновые векторы налетающей и рассеянной частиц. Амплитуды A и B выражаются в виде рядов:

$$A(E, \theta) = \frac{1}{2ik} \sum_{\ell=0}^{\infty} [(\ell+1)(e^{2i\delta_{\ell}^+} - 1) + \ell(e^{2i\delta_{\ell}^-} - 1)] P_{\ell}(\cos \theta), \quad /2a/$$

$$B(E, \theta) = -\frac{1}{2k} \sum_{\ell=1}^{\infty} (e^{2i\delta_{\ell}^+} - e^{2i\delta_{\ell}^-}) P_{\ell}^1(\cos \theta), \quad /2б/$$

где $k = |\vec{k}| = \mu v / \hbar$ / μ - приведенная масса и v - относительная скорость/, $\delta_{\ell}^+ = \delta_{\ell+1/2}(E)$ и $\delta_{\ell}^- = \delta_{\ell-1/2}(E)$ - фазы рассеяния со спином, параллельным и антипараллельным орбитальному моменту ℓ , E - энергия налетающей частицы, θ - угол рассеяния, $P_{\ell}^m(x) = (-1)^m (1-x^2)^{\frac{m}{2}} \frac{d^m P_{\ell}(x)}{dx^m}$ -

присоединенные полные Лежандра. Все величины даны в системе центра масс. Различие фаз δ_{ℓ}^+ и δ_{ℓ}^- означает, что потенциал взаимодействия зависит от взаимной ориентации спина и орбитального момента частицы, т.е. содержит "спин-орбитальную" часть, пропорциональную $\vec{S} \cdot \vec{L}$ / $\vec{S} = \frac{\hbar}{2} \vec{\sigma}$ и $\vec{L} = -i\hbar \vec{n} \cdot \frac{\partial}{\partial \theta}$ - операторы спина и орбитального момента/. Если спин-орбитальное взаимо-

действие отсутствует, то $\delta_{\ell}^{+} = \delta_{\ell}^{-}$ ($\ell=1,2,\dots$). В этом случае $B=0$ и A соответствует амплитуде рассеяния $f(\theta)$ бесспиновых частиц. Из формулы /1/ видно, что поляризация \vec{P} падающего пучка является единственной причиной азимутальной зависимости рассеянных частиц, т.к. амплитуды A и B не зависят от ϕ .

В результате спин-орбитального взаимодействия спиновое состояние частицы меняется при рассеянии. Следовательно, вектор поляризации \vec{P}' рассеянного пучка будет отличаться от поляризации \vec{P} падающего пучка как по величине, так и по направлению. Связь между ними следующая:

$$\sigma(\theta, \phi) \vec{P}' = (|A|^2 - |B|^2) \vec{P} + 2|B|^2 (\vec{P} \cdot \vec{n}) \vec{n} + 2 \operatorname{Im} A^* B (\vec{n} \times \vec{P}) + 2 \operatorname{Re} A^* B \cdot \vec{n}. \quad /3/$$

В частности, при $\vec{P} = 0$ будем иметь:

$$\vec{P}' = \frac{2 \operatorname{Re} A^* B}{|A|^2 + |B|^2} \vec{n}, \quad /3a/$$

т.е. неполяризованный пучок после рассеяния поляризуется перпендикулярно плоскости рассеяния, причем поляризация обусловлена интерференцией амплитуд A и B . A - амплитуда рассеяния без изменения ориентации спина, B - с изменением спинового состояния частицы/.

Для нейтронов спектра деления практически возможно только S и P -рассеяние, поэтому ряды /2б/ и /2а/ будут представлены лишь одним и двумя членами разложения соответственно. В этом случае для описания рассеяния достаточно трех фаз: δ_0 , δ_1^- и δ_1^+ .

2. Поляризационный эффект в альbedo гелиевого отражателя нейтронов. Метод расчета

Явление поляризации нуклонов при их рассеянии наиболее заметно на бесспиновых ядрах с резонансной зависимостью в сечении рассеяния. Ярким примером таких ядер является ${}^4\text{He}_2$, имеющий сильный резонанс при

энергии нейтронов в области 1 МэВ и слабо выраженный резонанс при $E \approx 5$ МэВ. Эти резонансы были объяснены тем, что составное ядро ${}^5\text{He}$ имеет два соответствующих указанным энергиям P -уровня: $P_{3/2}$ и $P_{1/2}$, которые отвечают рассеянию нейтрона со спином, параллельным и антипараллельным орбитальному моменту $\ell = 1$. Например, P -нейтрон с энергией порядка 1 МэВ имеет большую вероятности рассеяться через состояние $P_{3/2}$, когда спин и орбитальный момент складываются $|\ell + s| = 3/2$, чем через состояние $P_{1/2}$, когда $|\ell + s| = 1/2$, т.е. в рассеянном пучке должны преобладать $P_{3/2}$ -нейтроны. Средняя энергия нейтронов спектра деления тоже ≈ 1 МэВ, поэтому можно ожидать, что падающий на гелиевую мишень пучок нейтронов со спектром, характерным для быстрых реакторов, после первого рассеяния на $\text{He}-4$ будет заметно поляризован в направлении орбитального момента \vec{n} /т.е. положительно/. Если при этом направление рассеянного пучка считать направлением "вперед", а направление \vec{n} - "вверх", то второе рассеяние, согласно /1/, приведет к тому, что "влево" полетит нейтронов больше, чем "вправо". В среднем направление "влево" противоположно падающему на отражатель пучку, т.е. имеем положительную добавку α_2 к альбедо, которая обусловлена асимметрией второго рассеяния. Полный эффект α будет равен сумме эффектов от всех соударений: $\alpha = \sum_{k=1}^{\infty} \alpha_k$, причем $\alpha_1 = 0$, если первичный /т.е. падающий на отражатель/ пучок не поляризован.

Величину α можно вычислить, исходя из полученных в работе /3/ кинетических уравнений, где учтена спиновая переменная. Однако сложность этих уравнений существенно ограничивает возможности такого подхода.

Более простым и универсальным в данном случае является метод Монте-Карло, позволяющий в разумный срок и более точно вычислить не только сам эффект, но и его зависимость от различных параметров.

Рассмотрим два последовательных столкновения с номерами $/k-1/$ и k . Нейтрон, рассеянный при $(k-1)$ -ом столкновении, характеризуется углами рассеяния θ_{k-1} ,

ϕ_{k-1} /в С - системе/, поляризацией \vec{P}_{k-1} и энергией E_{k-1} . После k -го рассеяния на углы θ_k , ϕ_k нейтрон описывается вектором \vec{P}_k , который связан с \vec{P}_{k-1} формулой /3/, и энергией

$$E_k = E_{k-1} \left[1 - \frac{2\gamma}{(1+\gamma)^2} (1 - \cos \theta_k) \right], \quad /4/$$

где γ - отношение массы нейтрона к массе ядра. Если бы вектор \vec{P}_{k-1} был равен нулю, то в направлении θ_k , ϕ_k полетело бы $\sigma_0(\theta_k) = |A_k|^2 + |B_k|^2$ нейтронов. На самом деле в этом направлении рассеется $\sigma_0(\theta_k) + 2\text{Re} A_k^* B_k (\vec{P}_{k-1} \cdot \vec{n}_k)$ нейтронов, т.е. в

$$g_k = 1 + \frac{2\text{Re} A_k^* B_k}{|A_k|^2 + |B_k|^2} (\vec{P}_{k-1} \cdot \vec{n}_k) \quad /5/$$

раз больше. Метод расчета состоит в том, что направление рассеяния разыгрывается без учета поляризации, согласно сечению $\sigma_0(\theta)$, а поляризационная добавка учитывается "весом" /5/. Полный "вес" нейтрона после k -го соударения будет равен произведению "весов" /5/ от всех столкновений:

$$G_k = G_{k-1} g_k = \prod_{i=0}^k g_i, \quad (k = 1, 2, \dots), \quad /6/$$

причем начальный "вес" задан: $G_0 = g_0 = 1$. Среднее значение разности $\Delta G_k = G_k - G_0$ будет определять поляризационную добавку в альбедо k -го соударения:

$$a_k = \frac{1}{G_0} \overline{\Delta G_k} = \frac{1}{N} \sum_s \left(\prod_{i=1}^k g_i - 1 \right), \quad N \rightarrow \infty, \quad /7/$$

где N - число падающих нейтронов, а суммирование выполняется только по отраженным после k -го столкновения нейтронам.

Точность данного метода по существу ограничена

только статистической погрешностью и погрешностью, связанной с недостаточной информацией об энергетической зависимости фаз рассеяния. Стандартная статистическая ошибка, которая нанесена на графиках /1-3/, не велика и в среднем составляет $\approx 5\%$ /число историй нейтрона равно 100 000/.

При расчете данные о фазах (n, a) -рассеяния ^{/1.4/} аппроксимировались функциями /энергия в МэВ/:

$$\delta_0 = -0,42 \sqrt{E}, \quad \delta_1^- = 0,873 \frac{E^4}{E^4 + 130}, \quad /8/$$

$$\delta_1^+ = 0,606 \left[\frac{0,606 E^2}{0,606 + E^2} + 3,8 \frac{E^4}{1,52 + E^2} \right] (1 - 0,022 E).$$

Макроскопическое сечение рассеяния вычислялось по формуле:

$$\Sigma_s(E) = \frac{0,07676}{E} (\sin^2 \delta_0 + \sin^2 \delta_1^- + 2 \sin^2 \delta_1^+), \quad /9/$$

где плотность гелия взята равной $0,125 \text{ г/см}^3$ /при температуре $4,2^\circ\text{K}$ /.

Формулы /1/-/9/ полностью описывают историю нейтрона в гелиевой среде, когда магнитное поле отсутствует. При наличии поля добавляется уравнение движения /10/, описывающее прецессию вектора поляризации.

3. Зависимость эффекта α от магнитного поля

Если в гелиевой среде создать сильное магнитное поле \vec{B} , то вследствие быстрой прецессии нейтронных спинов случайная величина $(\vec{P}n)$ в /5/ примет среднее по времени свободного пробега значение, равное $\vec{P}_B n$ при $B \rightarrow \infty$ / \vec{P}_B - составляющая вектора \vec{P} вдоль поля \vec{B} /. В результате вклад поляризационного члена в g_k стано-

вится ниже и значение α уменьшается, т.е. вносится отрицательная реактивность. На рис. 1 приведены ре-

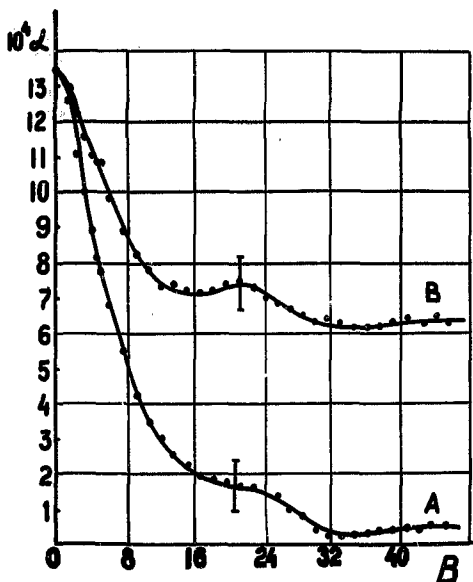


Рис. 1. Зависимость эффекта α от величины и направления магнитного поля B /кГс/. Падающий пучок нейтронов спектра деления коллинеарен и направлен по нормали e_z к поверхности отражателя. (A) - случай $B \parallel e_z$, (B) - случай $B \perp e_z$.

зультаты расчета $\alpha(B)$ для плоского гелневого отражателя толщиной 18 см, когда падающий пучок нейтронов спектра деления $e^{-E} \text{sh} \sqrt{2E}$ коллинеарен и направлен по оси z перпендикулярно плоскости отражателя. Кривые (A) и (B) соответствуют параллельному и перпендикулярно оси z направлению магнитной индукции \vec{B} . Видно, что при $B \perp z$ поле не может полностью уничтожить

эффект, т.е. не все нейтроны "забывают" о своей поляризации. Кроме того, функция $a(B)$ может быть осциллирующей. Поведение зависимостей (A) и (B) можно качественно объяснить на примере двукратного рассеяния моноэнергетического пучка нейтронов на гелиевом шаре /радиуса R /, так как основной вклад в эффект a вносят нейтроны второго соударения.

Будем считать, что ядро среды бесконечно тяжелые, вероятность 3-го и т.д. столкновений равна нулю и все нейтроны падающего в направлении z неполяризованного пучка рассеиваются в центре шара / $r = 0$ /. При этих условиях

$$a_2(B) = \int_0^{2\pi} d\phi \int_0^{\pi} \frac{\sigma_0(\theta)}{\sigma_s} \sin\theta d\theta \int_0^R e^{-\Sigma_s r} dr \times$$

$$\times \int_{\pi/2-\theta}^{\pi/2+\theta} \rho 2 \operatorname{Re} A^*(\theta') B(\theta') \sin\theta' d\theta' \int_{-\phi_0}^{\phi_0} \vec{P} \cdot \vec{n} d\phi'$$

где $\cos\phi_0 = \operatorname{ctg}\theta \operatorname{ctg}\theta'$, θ и θ' - углы 1-го и 2-го рассеяний, ρ - ядерная плотность, $\Sigma_s = \rho\sigma_s$, $t = r/v$. Вектор поляризации \vec{P} подчиняется уравнению движения:

$$\frac{d\vec{P}}{dt} = \gamma_n (\vec{P} \times \vec{B}), \quad /10/$$

где γ_n - гиромангнитное отношение нейтрона, и равен выражению $/3a/$ при $t = 0$. Если использовать приближение: $\operatorname{Re} A^*B \approx \operatorname{Re} A^*(\frac{\pi}{2})B(\frac{\pi}{2})\sin\theta$, то этот интеграл, вычисленный при $B||z$ и $B\perp z$, запишется в виде:

$$a_2(B) = \frac{1}{6} P^2 J(\omega), \quad (B||z) \quad /11a/$$

$$a_2(B) = \frac{1}{12} P^2 [J(0) + J(\omega)], \quad (B\perp z) \quad /11b/$$

Здесь $\omega = \gamma_n B$ - частота прецессии, $P = \frac{4\pi}{\sigma_s} 2Re A^*(\frac{\pi}{2})$
 $B(\frac{\pi}{2}) \approx P(\frac{\pi}{2})$,

$$J(\omega) = \frac{1}{1 + (\omega\tau)^2} [1 + (\omega\tau \sin \frac{\omega}{v} R - \cos \frac{\omega}{v} R) e^{-\sum_s R}] \quad \text{и} \quad \tau = 1/\sum_s v.$$

Таким образом, эффект в альbedo пропорционален квадрату поляризации и в случае, когда $B \perp z$ может быть снижен только до половины первоначального значения. Осцилляции обусловлены конечным размером мишени и растут с увеличением поля. При $R = \infty$ зависимость $|1/a|$ принимает вид $[1 + (\omega\tau)^2]^{-1}$, предсказанный в v^3 .

При других угловых распределениях падающих нейтронов результаты в целом похожи на кривые рис. 1. Основное различие состоит в том, что с увеличением анизотропии эффект a возрастает. В частности, для изотропного и косинусоидального распределений: $a(0) = 0,90 \pm 0,05 \cdot 10^{-3}$ и $a(0) = 1,15 \pm 0,05 \cdot 10^{-3}$, соответственно, тогда как для коллинеарного пучка $a(0) = 1,35 \pm 0,05 \cdot 10^{-3}$.

4. Зависимость от энергии падающих нейтронов

Спектр нейтронов утечки - индивидуальная характеристика реактора. Поэтому представляет интерес найти зависимость $a(E)$, которая позволит оценить эффект a /как среднее по заданному спектру/ при любом энергетическом распределении падающих нейтронов.

На рис. 2 даны энергетические зависимости $a(E)$ для случаев косинусоидального /а/ и мононаправленного /в/ угловых распределений первичных нейтронов. Толщина гелиевого слоя прежняя, 18 см. Как и следовало ожидать, $a(E)$ имеет два положительных резонанса.

5. Зависимость от толщины отражателя

Ядра ${}^4\text{He}_2$ не поглощают нейтронов, поэтому альbedo β отражателя бесконечной толщины ($z = \infty$) должно быть равно единице. Это означает, что эффект a исчезает при

$z \rightarrow \infty$. С другой стороны, $\alpha \rightarrow 0$ при $z \rightarrow 0$. Отсюда следует, что должна существовать оптимальная толщина отражателя (z_0), при которой поляризационный эффект максимален. Можно показать, что если альбеда β и эффект α не чувствительны к изменению углового и энергетического распределений нейтронов и при малых толщинах отражателя линейно зависят от z , т.е. $\beta = bz$ и $\alpha = az$ /вообще говоря, $\alpha'_z(0) = 0$ / при $z \ll 1/\Sigma_s$, то

$$\alpha(z) = \frac{az}{(1 + bz)^2}, \quad (0 < z < \infty). \quad /12/$$

Здесь, кроме того, предполагается, что поляризация нейтронов, покидающих отражатель, не зависит от его толщины. Формула /12/ дает приближенную оценку оптимальной толщины: $z_0 \approx 1/b = [d\beta(0)/dz]^{-1}$.

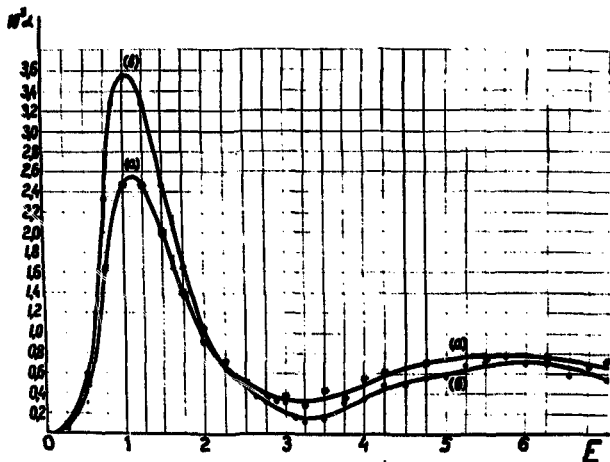


Рис. 2. Зависимость эффекта α от энергии /Мэв/ падающих нейтронов при косинусоидальном /а/ и мононаправленном /в/ угловых распределениях.

На рис. 3 изображена зависимость поляризационного эффекта α и альbedo β от толщины z для коллинеарного падающего пучка нейтронов спектра деления $e^{-E} \text{sh} \sqrt{2E}$.

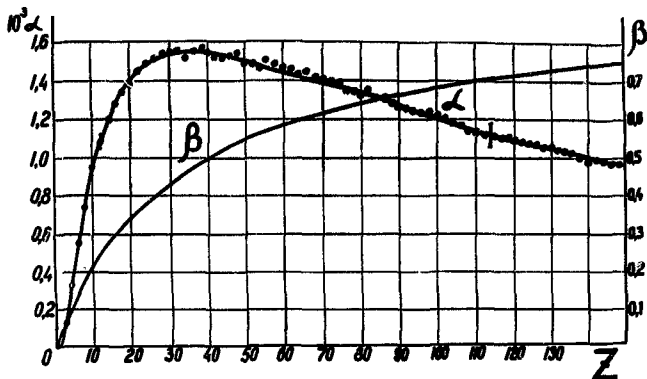


Рис. 3. Зависимость эффекта α и альbedo β от толщины /см/ гелиевого отражателя в случае коллинеарного падающего пучка нейтронов спектра деления.

Видно, что оптимальная толщина z_0 лежит в районе 35 см, т.е. равна примерно трем длинам свободного пробега. Значение эффекта в этой точке равно $/1,55 \pm 0,05/ \cdot 10^{-3}$. При косинусональном угловом распределении, которое более реально, величина z_0 практически та же, но $\alpha(z_0) = /1,35 \pm 0,05/ \cdot 10^{-3}$. С учетом неточности, связанной с фазами рассеяния, приведенные ошибки следует, как показали оценки, увеличить в 3-5 раз. В соответствии с этим последнее значение $\alpha(z_0)$ равно $/1,4 \pm 0,3/ \cdot 10^{-3}$ и выражает верхнюю реально достижимую оценку эффекта в альbedo плоского отражателя. Для отражателя конечных размеров эффект еще меньше. В частности, для куба со стороной 30 см $\alpha = /2,4 \pm 0,4/ \cdot 10^{-4}$ /здесь нейтрон считается отраженным, если он вылетел со стороны куба, на которую

падает первичный пучок/. В заключение отметим, что при моделировании зависимостей $\alpha(z)$ и $\alpha(B)$ использовался метод коррелированной выборки^{16/} в первом случае нейтроны распространялись сразу в нескольких отражателях различной толщины z , во втором - сразу в нескольких полях B /, поэтому разброс относительного положения расчетных точек на графиках рис. 1 и 3 меньше указанной там статистической ошибки.

Выводы

1. Реальная оценка поляризационного эффекта α в альbedo плоского гелневого отражателя составляет $1,4 \pm 0,3 \cdot 10^{-3}$.

2. Если магнитное поле параллельно направлению z падающих на отражатель нейтронов, то уже при индукции 15 кГс эффект α исчезает практически полностью. Перпендикулярное оси z поле может снизить эффект только в два раза.

3. С ростом анизотропии падающих нейтронов эффект α увеличивается.

4. Максимального значения величина α достигает при толщине отражателя порядка 35 см.

Литература

1. Г.Файснер, "Поляризация нуклонов при рассеянии", Москва, 1960.
2. I.Lepore. Phys.Rev., 79, 137 (1950).
3. Ю.Н.Казаченков, В.В.Орлов. АЭ, 33, 681 и 710, 1972.
4. Физика быстрых нейтронов. 2, 232, Атомиздат, 1966.
5. Ю.Н.Казаченков, В.В.Орлов. "Вопросы дозиметрии и защиты от излучений". Атомиздат, 4, 43, 1965.
6. Дж.Спанье, Э.Гелбард. "Метод Монте-Карло и задачи переноса нейтронов". Атомиздат, 1972.

Рукопись поступила в издательский отдел
31 июля 1973 года.